

ブラックホール回転エネルギーの 電磁場による因果的引抜きⅡ

熊本大学理学部 小出眞路

2年前の第7回磁気圏ブラックホール研究会において、電磁エネルギー密度とエネルギー流束密度の符号が異なる「落下」エネルギー平面においては負の電磁気的に「落下」するとしてブラックホール回転エネルギーの引き抜き機構が因果律的に理解できることを述べた。最近、K. Toma & F. Takahara (2016)はボイヤー・リンクスト座標およびカー・シルト座標においてフォース・フリーのプラズマが磁力線に沿ってブラックホールに連続的に入射される非定常な過程の解析的モデルを提示した。そこで電磁エネルギーの符号は座標系に依存し、負の電磁氣的エネルギーの落とし込みは本質的でないと結論している。

まだ、この論文を読み込んでいません・・・
内容にはあまり言及しません。すいません。

今回の目的

- ブランドフォード・ナエク機構での電磁場エネルギー密度 e_{EM}^{∞}
 - ボイヤ・リンクスト座標: $e_{EM}^{\infty} < 0$
 - カー・シルト座標: $e_{EM}^{\infty} > 0!$果たして, そういうことはありえるのか?
はっきりさせる.
- 今回, カー・シルト座標における電磁エネルギー密度とエネルギー流束の関係式を示す. それにより, Toma & Takahara (2016) の結論の検証を行う.

ブランドフォード・ナエク機構 (BZ機構)

Blandford, Znajek (1977)

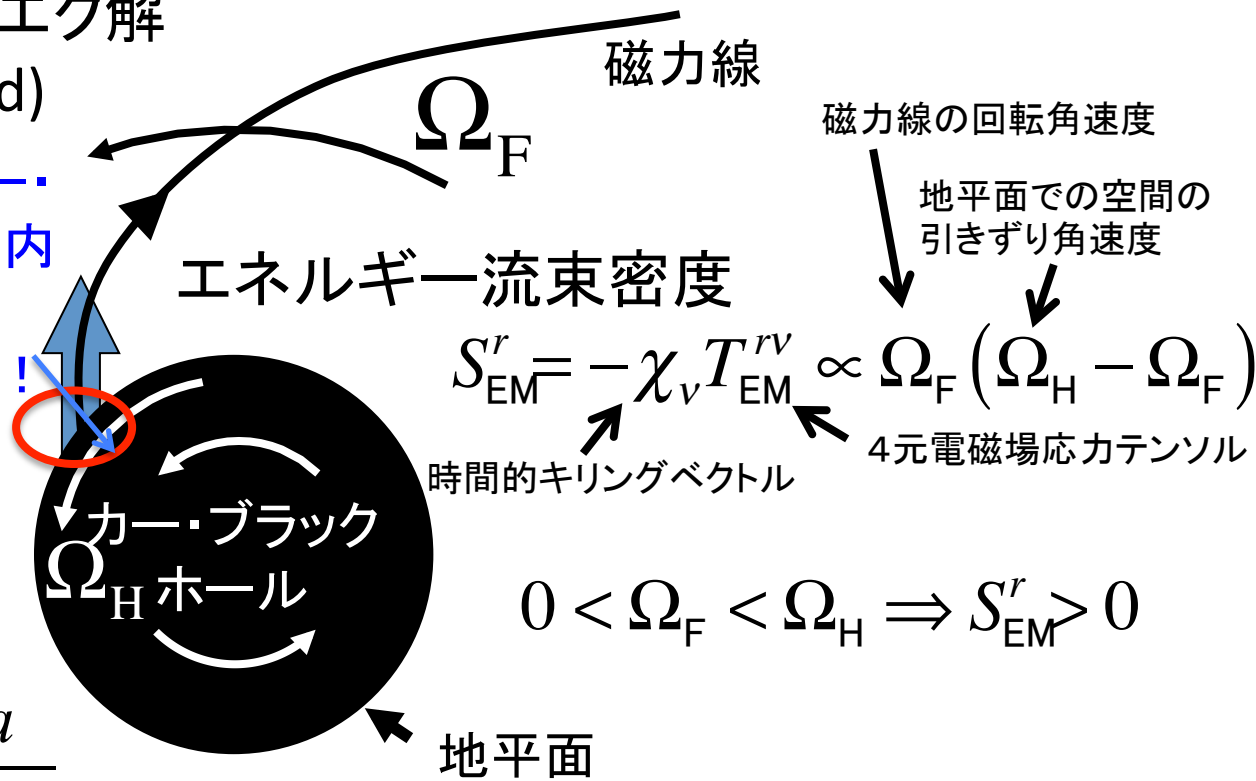
- ・ フォース・フリー条件 ($E^\infty_{\text{fluid}} \ll E^\infty_{\text{EM}}$), 定常・軸対称
- ・ カー・メトリック (ボイヤー・リンクスト座標)
- $a \ll 1$ (ブラックホールの回転パラメータ)

ブランドフォード・ナエク解
(split-monopole field)

地平面での物質・エネルギー・
情報の流れる方向は外から内
のみ。
もちろん、張力の働く方向も!

因果律問題
(Punsly & Coroniti
1990~)

$$\Omega_H = \frac{a}{4M}$$



Transport of electromagnetic energy and angular momentum

Unit system $\left[\begin{array}{l} c = 1 \\ \mu_0 = 1 \end{array} \right.$

- General relativistic equations of conservation laws:

$$\nabla_{\mu} T^{\mu\nu} = 0 \quad (\text{energy and momentum})$$

↙ Electromagnetic energy-momentum tensor

- Maxwell equations: Field strength tensor 4-current density

$$\nabla_{\mu} * F^{\mu\nu} = 0 \quad \nabla_{\mu} F^{\mu\nu} = -J^{\nu}$$


↙ dual tensor of $F_{\mu\nu}$ ↘

- Force-free condition: $F_{\mu\nu} J^{\nu} = 0$

Kerr Metric: $ds^2 = g_{\mu\nu} dx^{\mu} dx^{\nu}$ $(x_0, x_1, x_2, x_3) = (t, r, \theta, \phi)$


$$g_{00} = -h_0^2; \quad g_{ii} = h_i^2; \quad g_{0i} = -h_i^2 \omega_i \quad (i = 1, 2, 3); \quad g_{ij} = 0 \quad (i \neq j)$$

Lapse function: $\alpha = \sqrt{h_0^2 + \sum_i (h_i \omega_i)^2}$



(gravitational time delay)

Shift vector: $\beta_i = h_i \omega_i / \alpha$



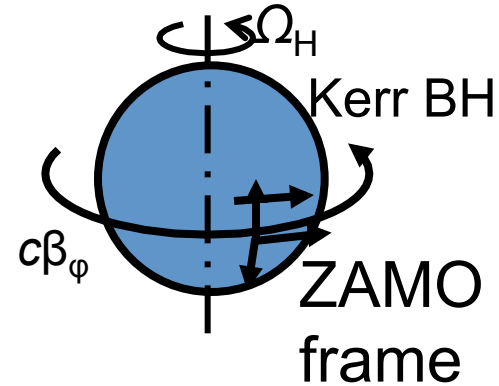
$\beta = (\beta_1, \beta_2, \beta_3)$

(velocity of dragged frame)

Several coordinates around rotating black hole

- Boyer-Lindquist coordinates, Kerr-Schild coordinates
 \Rightarrow coordinates of global frame

$$ds^2 = g_{\mu\nu} dx^\mu dx^\nu$$



- (primary) LNRF, (spatially oblique in general)
 \Rightarrow vector and tensor

$$ds^2 = -d\tilde{t}^2 + \sum_i g_{ij} d\tilde{x}^i d\tilde{x}^j \quad \leftarrow \text{数值計算に有効}$$

- LNRF with tetrad (spatially orthogonal) \Rightarrow vector and tensor

$$ds^2 = -d\hat{t}^2 + \sum_i (d\hat{x}^i)^2 \quad (\text{Similar to that of Minkowski metric})$$

\leftarrow 直感的理解に有効
 (物理量が直感的に計算できる)

- Co-moving frame \Rightarrow scalar variables

Transport of energy and angular momentum

Killing vector for Kerr space-time $\xi^\nu: \chi^\nu = (-1, 0, 0, 0)$ $\eta^\nu = (0, 0, 0, 1)$

conservation of energy and angular momentum:

$$e^\infty = \alpha \chi_\nu T^{0\nu} = \alpha (\hat{e} + \omega^\phi \hat{l}^\phi) = e_{\text{EM}}^\infty$$

$$l^\phi = -\alpha \eta_\nu T^{0\nu} = l_{\text{EM}}^\phi$$

$$S^i = \alpha \chi_\nu T^{i\nu} = S_{\text{EM}}^i$$

$$M^i = -\alpha \eta_\nu T^{i\nu} = M_{\text{EM}}^i$$

$$\frac{\partial e^\infty}{\partial t} = -\nabla \cdot \mathbf{S}$$

(energy conservation)

$$\frac{\partial l^\phi}{\partial t} = -\nabla \cdot \mathbf{M}$$

(angular momentum conservation)

Here,

$$e_{\text{EM}}^\infty = \alpha \left(\frac{\hat{B}^2}{2} + \frac{\hat{E}^2}{2} \right) + \omega^\phi \cdot l_{\text{EM}}^\phi \quad \text{(electromagnetic energy density)}$$

$$l_{\text{EM}}^\phi = h_3 (\hat{\mathbf{E}} \times \hat{\mathbf{B}})_\phi$$

(electromagnetic angular momentum density)

$$\mathbf{S}_{\text{EM}} = \alpha^2 (\hat{\mathbf{E}} - \boldsymbol{\beta} \times \hat{\mathbf{B}}) \times (\hat{\mathbf{B}} + \boldsymbol{\beta} \times \hat{\mathbf{E}})$$

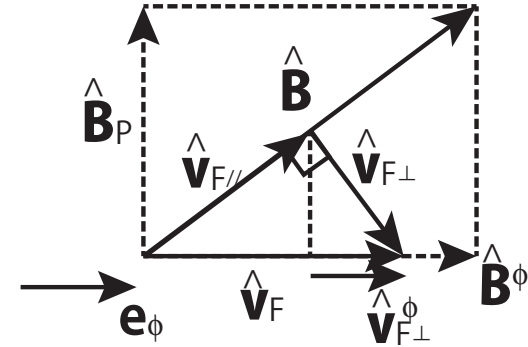
(electromagnetic energy flux density)

$$\mathbf{M}_{\text{EM}} = \alpha^2 h_3 \left[\left(\frac{\hat{B}^2}{2} + \frac{\hat{E}^2}{2} \right) \boldsymbol{\delta}^{i3} - \hat{B}_3 \hat{\mathbf{B}} - \hat{E}_3 \hat{\mathbf{E}} + (\hat{\mathbf{E}} \times \hat{\mathbf{B}})_3 \boldsymbol{\beta} \right]$$

(electromagnetic angular momentum flux density)

When we can write $\hat{\mathbf{E}} = -\hat{\mathbf{v}}_{F\perp} \times \hat{\mathbf{B}}$

$$(\hat{\mathbf{v}}_F = \hat{\mathbf{v}}_{F\perp} + \hat{\mathbf{v}}_{F//} \quad \hat{\mathbf{v}}_{F\perp} \perp \hat{\mathbf{B}}, \quad \hat{\mathbf{v}}_{F//} // \hat{\mathbf{B}}),$$



In general, we have

electromagnetic energy-at-infinity:

$$e_{EM}^{\infty} = \alpha \left(\frac{\hat{B}^2}{2} + \frac{\hat{E}^2}{2} \right) + \boldsymbol{\omega} \cdot \mathbf{l}_{EM} = \alpha \hat{B}^2 \left[\frac{1}{2} \left(1 + (v_{F\perp})^2 \right) + \hat{\boldsymbol{\beta}} \cdot \hat{\mathbf{v}}_{F\perp} \right]$$

electromagnetic energy flux density:

$$\begin{aligned} \mathbf{S}_{EM} &= \alpha^2 \left(\hat{\mathbf{E}} - \hat{\boldsymbol{\beta}} \times \hat{\mathbf{B}} \right) \times \left(\hat{\mathbf{B}} + \hat{\boldsymbol{\beta}} \times \hat{\mathbf{E}} \right) \\ &= \alpha e_{EM}^{\infty} \left(\hat{\mathbf{v}}_{F\perp} + \hat{\boldsymbol{\beta}} \right) + \frac{\alpha^2}{2} (1 - v_{F\perp}^2) \left[\hat{B}^2 \left(\hat{\mathbf{v}}_{F\perp} + \hat{\boldsymbol{\beta}} \right) - 2 \left(\hat{\boldsymbol{\beta}} \cdot \hat{\mathbf{B}} \right) \hat{\mathbf{B}} \right] \end{aligned}$$

Energy flux in the case of Force-free (Blandford-Znajek mechanism)

Maxwell Equations and force-free condition yield

$$\hat{\mathbf{E}} = -\hat{\mathbf{v}}_{F\perp} \times \hat{\mathbf{B}}, \quad \hat{\mathbf{v}}_F = \frac{h_\phi}{\alpha} (\Omega_F - \omega_\phi) \mathbf{e}_\phi,$$

$$\hat{v}_{F\perp} = \frac{\hat{v}_F}{\sqrt{1 + (\hat{B}^\phi / \hat{B}_P)^2}} = \frac{\hat{v}_F}{\sqrt{1 + \hat{v}_F^2}}$$

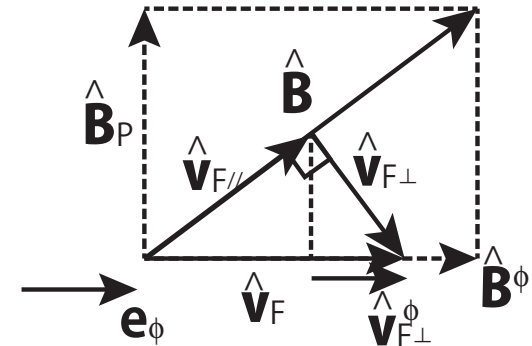
At $r \rightarrow r_H$ (horizon), $\omega^\phi \rightarrow \Omega_H$ and we can write $\frac{\hat{B}_\phi}{\hat{B}^P} \cong \frac{h_\phi}{\alpha} (\Omega_F - \Omega_H)$ $\frac{\hat{v}_{F\perp}}{\hat{v}_F} = \frac{\hat{B}_P}{\hat{B}}$

(Znajek condition)

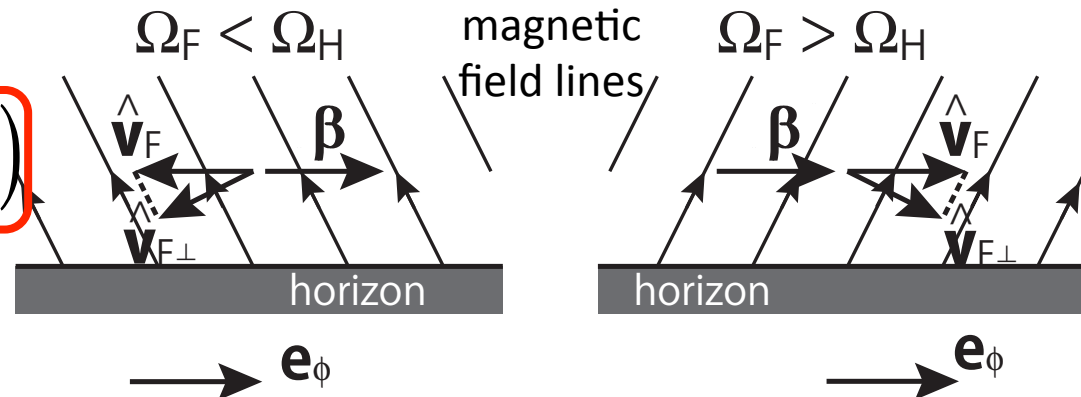
At $r \rightarrow r_H$ $\hat{v}_F \rightarrow \infty$

$$\hat{v}_{F\perp} \rightarrow 1 \quad \omega^\phi \rightarrow \Omega_H$$

$$S_{EM}^P = \alpha e_{EM}^\infty (\hat{v}_{F\perp} + \beta)$$



Near the horizon, $v_{F\perp}$ always directs toward the horizon.



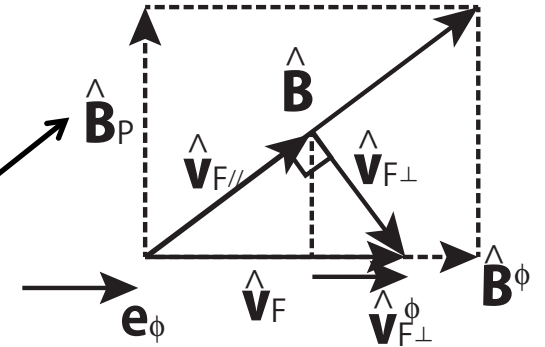
Causal extraction of black hole energy in Blandford-Znajek mechanism: electromagnetic negative energy

Near the horizon:

$$e_{EM}^{\infty} = \alpha \left[\frac{1}{2} (1 + \hat{v}_{F\perp}^2) + \beta^{\phi} \hat{v}_{F\perp}^{\phi} \right] \hat{B}^2 \cong \frac{\Omega_F}{\Omega_F - \Omega_H} \alpha (\hat{B})^2$$

$$\hat{B} = \sqrt{(\hat{B}^{\phi})^2 + (\hat{B}_P)^2} \cong |\hat{B}^{\phi}| = \left| \frac{R}{\alpha} (\Omega_F - \Omega_H) \right| \hat{B}_P$$

Poloidal component of magnetic field



$$e_{EM}^{\infty} = \alpha \hat{B}^2 \left[\frac{1}{2} \left(1 + (v_{F\perp})^2 \right) + \beta \cdot \hat{v}_{F\perp} \right] \cong \frac{R_H^2}{\alpha} \Omega_F (\Omega_F - \Omega_H) (\hat{B}_{PH})^2$$

$$\hat{v}_{F\perp}^{\phi} = \frac{\hat{B}_P}{\hat{B}}$$

$$\hat{v}_{F\perp} = \frac{\hat{v}_F}{1 + \hat{v}_F^2}$$

$$S_{EM}^P = \alpha e_{EM}^{\infty} (\hat{v}_{F\perp} + \beta) \cong R_H^2 \Omega_F (\Omega_F - \Omega_H) (\hat{B}_{PH})^2 (\hat{v}_{F\perp} + \beta)$$

$$0 < \Omega_F < \Omega_H$$

In this case, electromagnetic energy is radiated. This is well-known condition where Blandford-Znajek mechanism works. Furthermore, we found $e_{EM}^{\infty} < 0$

i.e. energy is negative. This means even in the Blandford-Znajek mechanism, (electromagnetic) negative energy is utilized for the energy extraction of black hole.

電磁場によるブラックホール回転エネルギーの引抜き機構のまとめ

(Koide & Baba 2014)

| | 機構 | 負のエネルギーの形態 | 角運動量の再配分をするトルク | 出てくるエネルギーの形態 | 参考文献 |
|--------------------|--------------------------|-----------------|-----------------------|-------------------------------|---|
| | ペンローズ過程 (参考) | 粒子の力学的エネルギー | 粒子の分裂・相互作用の力 | 粒子の力学的エネルギー | Penrose (1969) |
| | 磁氣的ペンローズ過程 | 荷電粒子の力学的エネルギー | 電磁氣的力 | 荷電粒子の力学的エネルギー | Wagh (1989) |
| 機構 ブランドフォード・ナエク | force-freeブランドフォード・ナエク機構 | 電磁氣的エネルギー | 電磁氣的張力 (force-free) | 電磁氣的エネルギー | Blandford & Znajek (1977) |
| | MHDブランドフォード・ナエク機構 | 電磁氣的エネルギー | 電磁氣的張力 (MHD) | 電磁氣的エネルギーとプラズマの運動エネルギー(アルベン波) | Takahashi et. al(1991); Koide (2003); Komissarov (2005) |
| | MHDペンローズ過程 | プラズマの力学的エネルギー | ローレンツ力 | 電磁氣的エネルギーとプラズマの運動エネルギー(アルベン波) | Takahashi et. al(1991); Koide (2003); Komissarov (2005) |
| | 超放射 | 電磁波の電磁氣的エネルギー | 量子効果による Half-mirror効果 | 電磁波の電磁氣的エネルギー | Press & Teukolsky (1972); Lightman et. al (1975) |
| | 磁氣リコネクションによる機構 | プラズモイドの力学的エネルギー | 磁氣リコネクションによる電磁氣的張力 | プラズモイドの力学的エネルギー | Koide (2009) |

BZ機構の負の電磁エネルギーによる因果的理解

(2013年秋季天文学会, Koide 2014 PRD)

一般に負の電磁エネルギーを介してブラックホールの回転エネルギーの引き抜き機構を因果的に理解できることをボイヤー・リンクスト座標(カー・メトリック)において示した.

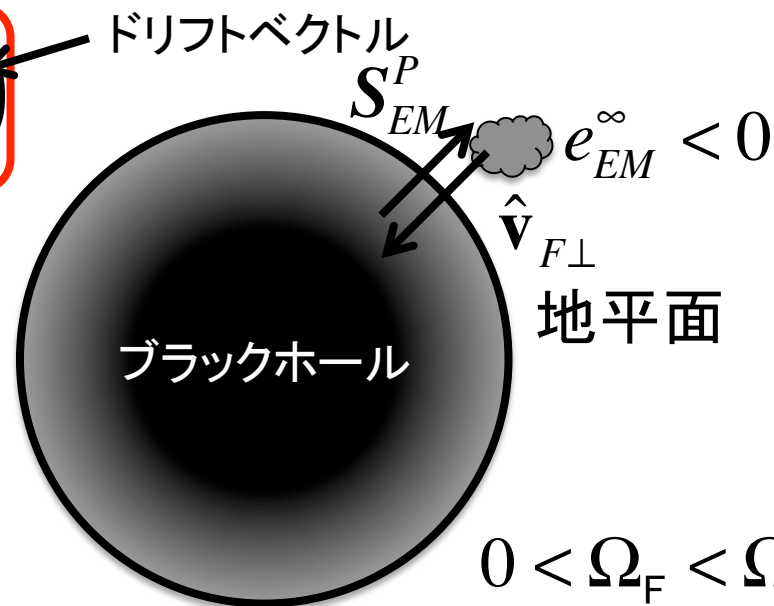
- ✓ $\hat{E} = -\hat{v}_{F\perp} \times \hat{B}$ の $\hat{v}_{F\perp}$ を電磁場の移動速度とする.
- ✓ 地平面では電磁場エネルギー密度 e_{EM}^∞ と電磁場エネルギー流束密度 S_{EM}^P の関係が次のような式で表される.

$$S_{EM}^P = \frac{1}{h_r} \alpha e_{EM}^\infty (\hat{v}_{F\perp} + \beta)$$

ラプス関数

- ✓ 電磁場によるブラックホール回転エネルギーの引き抜きは $e_{EM}^\infty < 0$ のときに起こる.

ここでの議論は全てボイヤー・リンクスト座標により行った。



負の電磁エネルギーの落とし込みによる BZ機構の説明に対する異論

(當真さん(東北大)2015年日本天文学会春季大会,
K. Toma & F. Takahara 2016)

- 電磁場のエネルギー密度 e_{EM}^{∞} は電磁場のエネルギー密度, エネルギー流束密度の成分であり, スカラーではない. それゆえ, 電磁場エネルギー密度 e_{EM}^{∞} の値は座標系に依存する.
- ブランドフォード・ナエク機構での電磁場エネルギー密度 e_{EM}^{∞}
 - ボイヤ・リンクスト座標: $e_{EM}^{\infty} < 0$
 - カー・シルト座標: $e_{EM}^{\infty} > 0!$
- それゆえ, 負の電磁場エネルギーをブラックホールに落とし込むことによりブラックホールの回転エネルギーを引き抜くという解釈は間違っている!

果たして, そうか?

回転するブラックホールのまわりの時空を表す座標

- ボイヤー・リンクスト座標 (カー・メトリック)

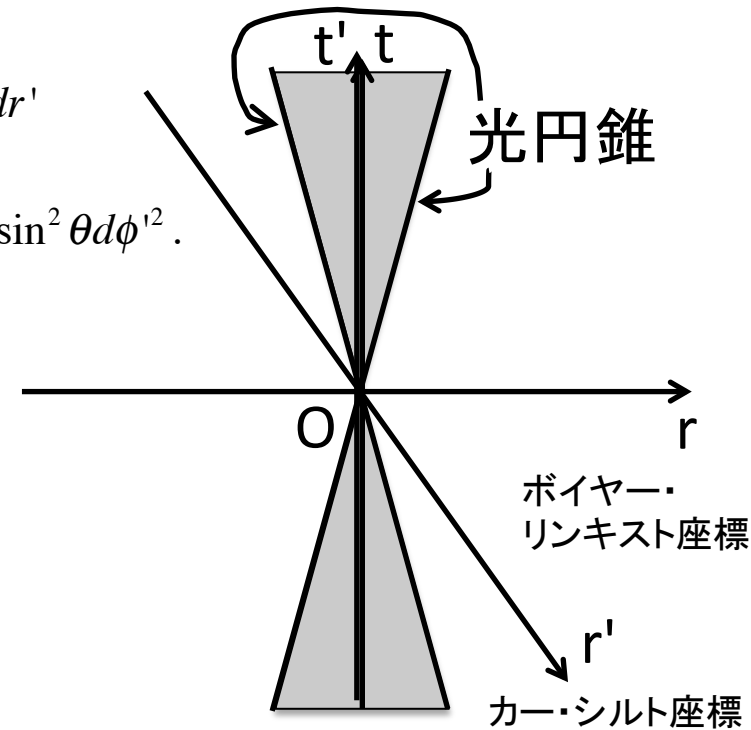
$$ds^2 = g_{\mu\nu} dx^\mu dx^\nu = -\left(1 - \frac{2Mr}{\Sigma}\right) dt^2 + \frac{\Sigma}{\Delta} dr^2 + \Sigma d\theta^2 + \frac{A}{\Sigma} \sin^2 \theta d\phi^2 - 2 \frac{2Mar}{\Sigma} \sin^2 \theta d\phi dt.$$

- カー・シルト座標 (カー・シルト・メトリック)

$$ds^2 = -\left(1 - \frac{2Mr}{\Sigma}\right) dt'^2 - 2a \frac{2Mr}{\Sigma} \sin^2 \theta dt' d\phi' + 2 \frac{2Mr}{\Sigma} dt' dr' + \left(1 + \frac{2Mr}{\Sigma}\right) dr'^2 - 2a \left(1 + \frac{2Mr}{\Sigma}\right) \sin^2 \theta dr' d\phi' + \Sigma d\theta'^2 + \frac{A}{\Sigma} \sin^2 \theta d\phi'^2.$$

座標変換

$$\left\{ \begin{array}{l} dt' = dt + 2 \frac{Mr}{\Delta} dx^1 = dt + 2 \frac{Mr}{\Delta} dr \\ r' = x^{1'} = x^1 = r \\ \theta' = \bar{x}^{2'} = x^2 = \theta \\ d\phi' = dx^{3'} = dx^3 + \frac{a}{\Delta} dx^1 = d\phi + \frac{a}{\Delta} dr. \end{array} \right.$$



s^t が負であれば $s^{t'}$ も負となること：幾何学的理解

電磁場のエネルギー密度 $e_{EM}^\infty = \alpha S_{EM}^t$

電磁場の4元エネルギー密度・
エネルギー流束密度ベクトル

$$dt' = dt + 2\frac{Mr}{\Delta}dr$$

$$r' = r$$

$$S_{EM}^\mu = \chi_\nu T_{EM}^{\mu\nu}$$

時間的キリン
グベクトル

4元電磁場
応力テンソル

$$S_{EM}^\mu S_{\mu EM} \leq 0$$

(電磁エネルギーが光速を越えて伝播しないという条件)

(S^r が正のとき)

$$0 > S^{t'}_{EM}$$

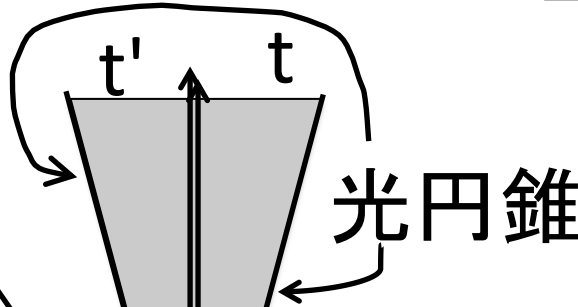
$$0 > S^t_{EM}$$

$$S^r_{EM} = S^{r'}_{EM}$$

$$S^\mu_{EM} = S^{\mu'}_{EM}$$

ボイヤー・リンクスト座標
(t, r, θ, ϕ)

カー・シルト座標
(t', r', θ', ϕ')



S^t が負であれば $S^{t'}$ も負となること： ブラックホール地平面の極近傍での証明

ポイヤール・リンクスト座標とカー・シルト座標の変換則は

$$dt' = dt + 2\frac{Mr}{\Delta} dr$$

なので、 $S^t = -\chi_\nu T^{t\nu}$ の変換性は $S^{t'} = S^t + 2\frac{Mr}{\Delta} S^r$.

先に得られた地平面近傍での電磁場のエネルギー流束密度と密度の関係

$$S_{EM}^P = \frac{1}{h_r} \alpha e_{EM}^\infty (\hat{\mathbf{v}}_{F\perp} + \beta)$$

を用いると、 $e^\infty = \alpha S^t$ より

$$S_{EM}^{t'} = S_{EM}^t + 2\frac{Mr}{\Delta h_r} S_{EM}^t v_{F\perp}^r = S_{EM}^t \left(1 + 2\frac{Mr}{\Delta} \sqrt{\frac{\Delta}{\Sigma}} \sqrt{\frac{\Delta\Sigma}{A}} v_{F\perp}^r \right) = S_{EM}^t \left(1 + \sqrt{\frac{(2Mr)^2}{A}} v_{F\perp}^r \right)$$

$$v_{F\perp}^r \geq -1 \text{ より } 1 + \sqrt{\frac{(2Mr)^2}{A}} v_{F\perp}^r \geq 1 - \sqrt{\frac{(2Mr)^2}{A}} > 0$$

地平面の外では $(2Mr)^2 < A = (r^2 + a^2)^2 - a^2 \Delta \sin^2 \theta$ であるので、 S_{EM}^t と $S_{EM}^{t'}$ は同じ符号である。

(証明終り)

S^t が負であれば $S^{t'}$ も負となること: 数学的証明 (助言: 高橋労太さん)

ポイヤール・リンクスト座標とカー・シルト座標の変換則は

$$dt' = dt + 2\frac{Mr}{\Delta} dr$$

$$(S^\mu = S_{EM}^\mu)$$

なので,
$$S^{t'} = S^t + 2\frac{Mr}{\Delta} S^r$$

以下では, 座標系で電磁場エネルギーの符号が変わり得る場合として $S^r > 0$, $S^t < 0$ とする.

電磁場のエネルギー密度・エネルギー流束密度ベクトル S^μ は

$$-\varepsilon = S^\mu S_\mu \leq 0 \quad (\text{ここで, } \varepsilon \geq 0)$$

である(光速度を超えてエネルギーが伝わらないという条件).

$$S^\mu S_\mu + \varepsilon = g_{\phi\phi} (S^\phi)^2 + 2g_{t\phi} S^t S^\phi + g_{tt} (S^t)^2 + g_{rr} (S^r)^2 + g_{\theta\theta} (S^\theta)^2 + \varepsilon = 0$$

S^ϕ は実数なので,

$$(g_{t\phi} S^t)^2 \geq g_{\phi\phi} \left[g_{tt} (S^t)^2 + g_{rr} (S^r)^2 + g_{\theta\theta} (S^\theta)^2 + \varepsilon \right]$$

ポイヤー・リンクスト座標の計量(カー・メトリック)

$$g_{tt} = -\left(1 - \frac{2Mr}{\Sigma}\right), \quad g_{rr} = \frac{\Sigma}{\Delta}, \quad g_{\theta\theta} = \Sigma, \quad g_{\phi\phi} = \frac{A}{\Sigma} \sin^2 \theta, \quad g_{\phi t} = -\frac{2Mar}{\Sigma} \sin^2 \theta$$

$$A = (r^2 + a^2)^2 - a^2 \Delta \sin^2 \theta, \quad \Sigma = r^2 + a^2 \cos^2 \theta, \quad \Delta = r^2 - 2Mr + a^2$$

より, $(g_{t\phi})^2 - g_{\phi\phi}g_{tt} = \Delta \sin^2 \theta$ なので,

$$\Delta \sin^2 \theta (S^t)^2 = \left((g_{t\phi})^2 - g_{\phi\phi}g_{tt} \right) (S^t)^2 \geq \frac{A}{\Sigma} \sin^2 \theta \left[\frac{\Sigma}{\Delta} (S^r)^2 + \Sigma (S^\theta)^2 + \varepsilon \right]$$

$r > r_H$ では $\Delta > 0$ であるので,

$$(S^t)^2 > \frac{A}{\Delta^2} (S^r)^2$$

さらに, $A > (2Mr)^2$, なので, $|S^t| > \frac{2Mr}{\Delta} |S^r|$

すなわち, $S^{t'} = S^t + \frac{2Mr}{\Delta} S^r < 0$. (証明終り)

ここまでのまとめ

- ボイヤー・リンクスト座標とカー・シルト座標において電磁場エネルギー密度の符号は不変であることを3つの方法で確かめた.
- 座標系によらずブラックホール回転エネルギーの電磁気的な引き抜きは負の電磁場エネルギーを介していると説明できることを確認した.

Kerr-Schild座標系でのエネルギーの輸送

- BZ機構においてはブラックホール地平面および内部で本当に負の電磁場エネルギーによりエネルギーが外向きに運ばれているのか？
- Kerr-Schild座標系で、 e^∞ とSの関係式を見る。
 - ブラックホールの地平面・内部でのSと e^∞ の状況を確認する。

Kerr-Schild座標系でのエネルギーの輸送:

$$ds^2 = g_{\mu\nu} dx^\mu dx^\nu \quad (\text{Boyer-Lindquist座標, Kerr-Schild座標})$$

$$ds^2 = -d\tilde{t}^2 + \sum g_{ij} d\tilde{x}^i d\tilde{x}^j \quad (\text{LNRF座標})$$

$$ds^2 = -d\hat{t}^2 + \sum_i (d\hat{x}^i)^2 \quad (\text{テトラッドLNRF座標})$$

$$\text{Force-Free: } \nabla_\nu T^{\mu\nu} = 0 \quad T^{\mu\nu} = F^{\mu\rho} F^\mu{}_\rho - \frac{1}{4} g^{\mu\nu} (F^{\rho\sigma} F_{\rho\sigma})$$

$$S^\mu = \chi_\nu T^{\mu\nu} \quad \chi^\nu = (-1, 0, 0, 0) \quad (\text{Killingベクトル})$$

$$\nabla_\mu S^\mu = \frac{1}{\sqrt{-g}} \partial_\mu (\sqrt{-g} S^\mu) = 0$$

$$S^0 = \frac{1}{\alpha} \tilde{S}^0 \quad S^i = \tilde{S}^i + \tilde{\beta}^i \tilde{S}^0 \quad \sqrt{-g} = h_1 h_2 h_3$$

$$\frac{\partial}{\partial t} \tilde{S}^0 = -\frac{1}{h_1 h_2 h_3} \frac{\partial}{\partial x^i} (h_1 h_2 h_3 \alpha \tilde{S}^i) = -\nabla \cdot (\alpha \vec{\tilde{S}}) \quad (\text{電磁エネルギーの保存式})$$

$$\tilde{S}^0 = \tilde{\chi}_v \tilde{T}^{0v} = \alpha \left(\tilde{T}^{00} + \tilde{\beta}^i \tilde{T}_i^0 \right) = e^\infty$$

$$\tilde{S}^i = \tilde{\chi}_v \tilde{T}^{iv} = \alpha \left(\tilde{T}^{i0} + \tilde{\beta}^j \tilde{T}_j^i \right)$$

$$\vec{\tilde{S}} = \tilde{S}_i \vec{\tilde{e}} = \hat{S}_i \vec{\hat{e}} = \vec{\hat{S}}$$

テトラッド座標において $\vec{\hat{E}} = -\vec{\hat{v}}_{F\perp} \times \vec{\hat{B}}$ とできたとする

$$\vec{\hat{S}} = \alpha e^\infty \left(\vec{\hat{v}}_{F\perp} + \vec{\hat{\beta}} \right) + \frac{\alpha^2}{2} \left(1 - |\vec{\hat{v}}_{F\perp}|^2 \right) \left[|\vec{\hat{B}}|^2 \left(\vec{\hat{v}}_{F\perp} + \vec{\hat{\beta}} \right) - 2 \left(\vec{\hat{\beta}} \cdot \vec{\hat{B}} \right) \vec{\hat{B}} \right]$$

すなわち,

$$\vec{\tilde{S}} = \alpha e^\infty \left(\vec{\tilde{v}}_{F\perp} + \vec{\tilde{\beta}} \right) + \frac{\alpha^2}{2} \left(1 - |\vec{\tilde{v}}_{F\perp}|^2 \right) \left[|\vec{\tilde{B}}|^2 \left(\vec{\tilde{v}}_{F\perp} + \vec{\tilde{\beta}} \right) - 2 \left(\vec{\tilde{\beta}} \cdot \vec{\tilde{B}} \right) \vec{\tilde{B}} \right]$$

成分で書くと,

$$\tilde{S}^i = \alpha e^\infty \left(\tilde{v}_{F\perp}^i + \tilde{\beta}^i \right) + \frac{\alpha^2}{2} \left(1 - \tilde{v}_{F\perp}^k \tilde{v}_{F\perp,k} \right) \left[\left(\tilde{B}^k \tilde{B}_k \right) \left(\tilde{v}_{F\perp}^i + \tilde{\beta}^i \right) - 2 \left(\tilde{\beta}^k \cdot \tilde{B}_k \right) \tilde{B}^i \right]$$

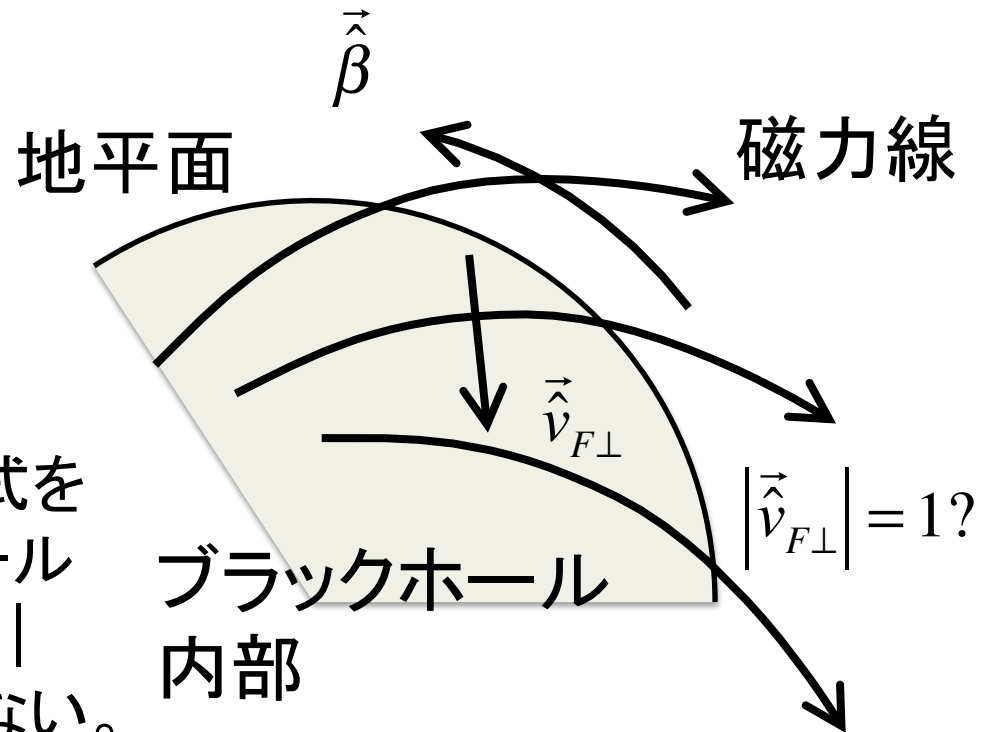
$$\tilde{S}^i = \alpha e^\infty (\tilde{v}_{F\perp}^i + \tilde{\beta}^i) + \frac{\alpha^2}{2} (1 - \tilde{v}_{F\perp}^k \tilde{v}_{F\perp,k}) \left[(\tilde{B}^k \tilde{B}_k) (\tilde{v}_{F\perp}^i + \tilde{\beta}^i) - 2 (\tilde{\beta}^k \cdot \tilde{B}_k) \tilde{B}^i \right]$$



$$|\hat{\tilde{v}}_{F\perp}| = 1?$$

$$\tilde{S}^i = \alpha e^\infty (\tilde{v}_{F\perp}^i + \tilde{\beta}^i)$$

まだ、 $|v_{F\perp}|$ の具体的な表式を得てはいないが、ブラックホールの地平面および内部で $|v_{F\perp}| = 1$ となっているとは到底思えない。



Constants along magnetic surface in stationary, axis-symmetric MHD case on Kerr-Schild coordinates

(t, s, Ψ, ϕ) coordinates:

$$\tilde{B}^\Psi = 0$$

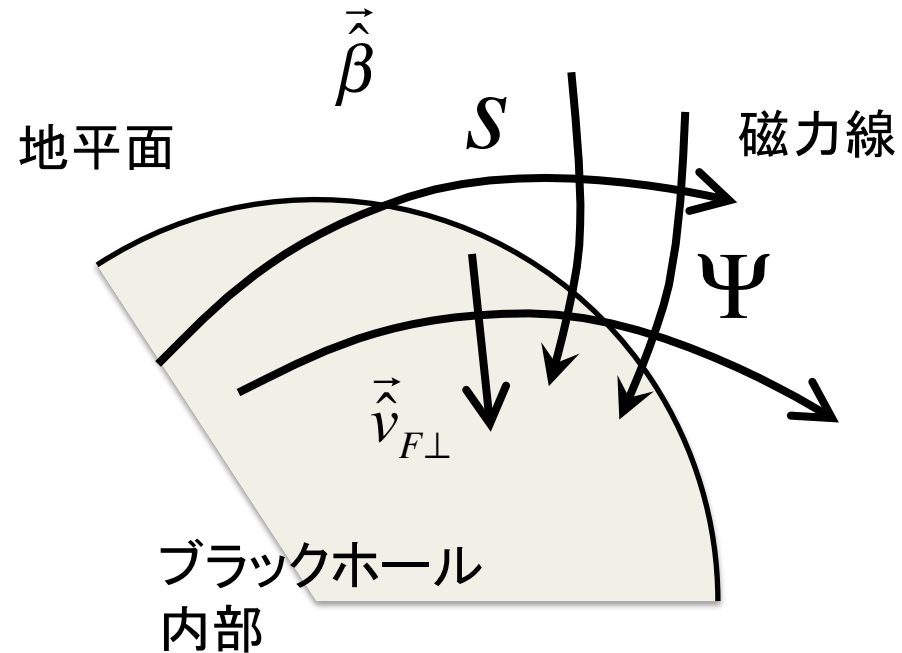
$$B^s(\Psi) = h_\Psi h_\phi \tilde{B}^s \quad (\text{div } \mathbf{B} = 0)$$

$$\Omega_F(\Psi) = \alpha \left[(\tilde{v}^\phi + \tilde{\beta}^\phi) \hat{B}^s - \tilde{B}^\phi (\tilde{v}^s + \tilde{\beta}^s) \right]$$

$$\tilde{v}^\Psi + \tilde{\beta}^\Psi = 0$$

$$I(\Psi) = \alpha \sqrt{\gamma}_\phi \left[\left(1 + \tilde{\beta}^\Psi \tilde{v}_{F\Psi} + \tilde{\beta}^s \tilde{v}_{Fs} \right) \tilde{B}_\phi - \left(\tilde{\beta}^\Psi \tilde{B}_\Psi + \tilde{\beta}^s \tilde{B}_s \right) \tilde{v}_{F\phi} \right]$$

$$\tilde{J}^\Psi + \tilde{\rho}_e \tilde{\beta}^\Psi = 0 \quad (\text{force-free})$$



$$\frac{\partial}{\partial t} = \frac{\partial}{\partial \phi} = 0$$